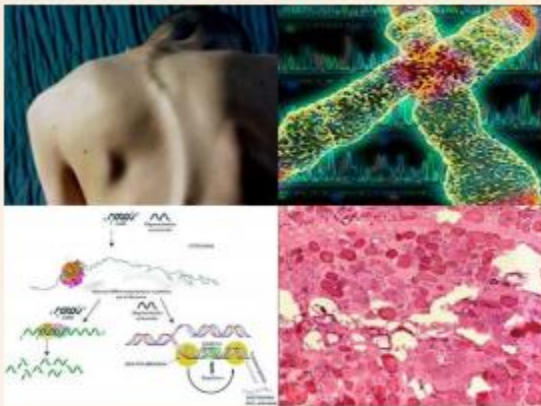




Hospital Universitario
Ramón y Cajal
Comunidad de Madrid



Enfermedades Musculares en la Infancia y Adolescencia (XI)



27 y 28 de Marzo de 2014

Salón de Actos. Planta 0 centro.
Hospital Universitario Ramón y Cajal

Inscripción: GRATUITA, enviando un correo
electrónico indicando nombre y filiación a
glorenzosanz@yahoo.es

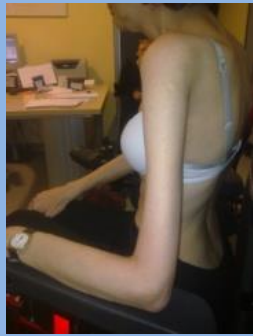
Directores:

Dr. G. Lorenzo Sanz Neurología infantil S. de Pediatría.
Dra. R. Buenache Espartosa Neurología infantil S. de Pediatría.

Instituto Ramón y Cajal
de Investigación Sanitaria **irycis**



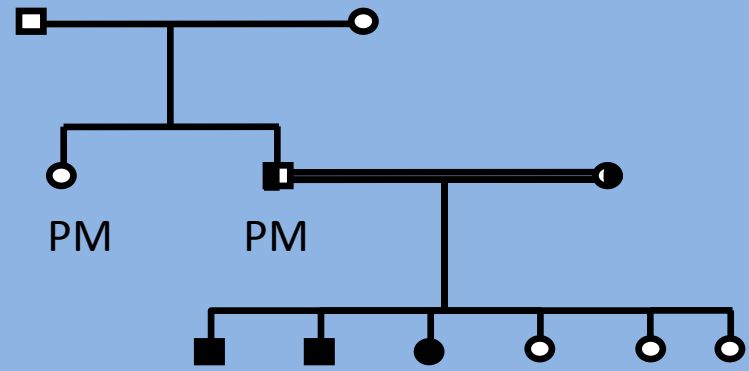
Aportación de la secuenciación
de nueva generación a la
práctica clínica
Dr. A. Jiménez Escrig
S. de Neurología
Hospital Ramón y Cajal



1er afectado

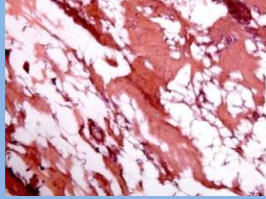
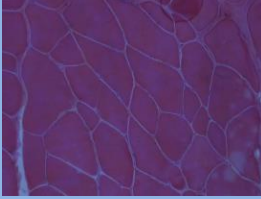
2º afectado

3er afectado



PM

PM



calpainina-3

δαβ-sarcoglicanos

diferitina

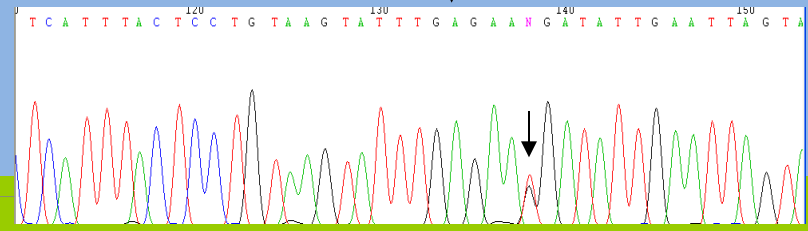
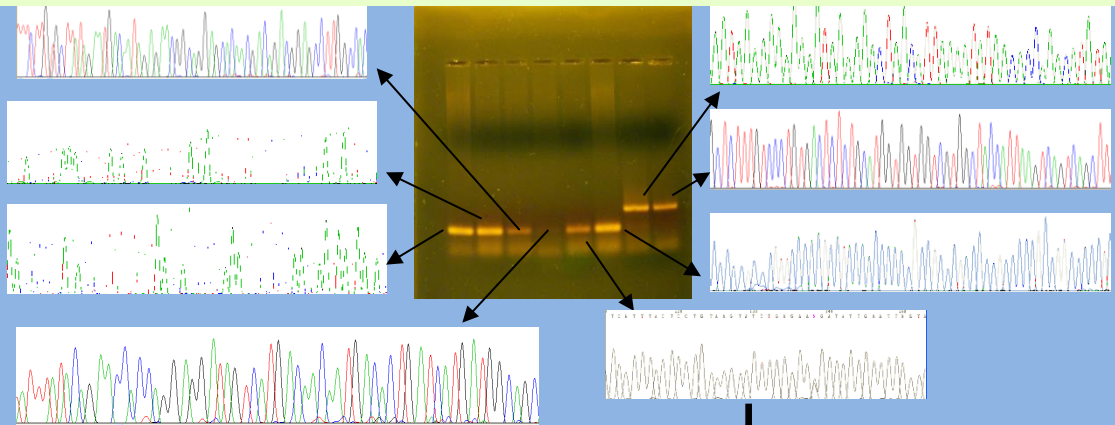
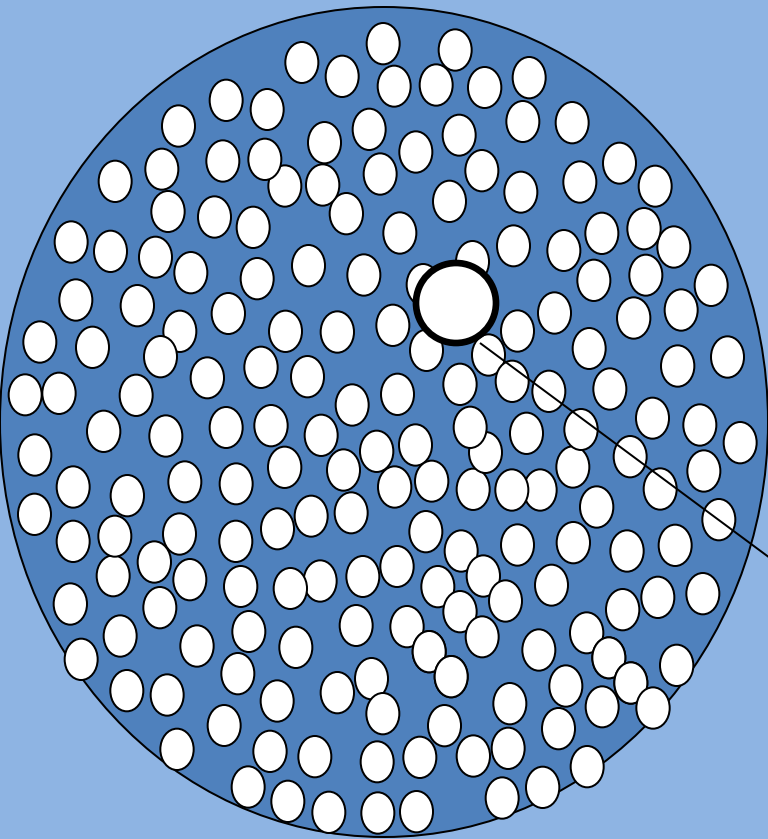
EXOMA

Limb girdle dystrophies: Dominant	Limb girdle dystrophies: Recessive
1A: Myotilin; 5q31; Dysarthria	2A: Calpain-3 ;15q15
1B: Lamin A/C; 1q21; + Cardiac	2B: Dysferlin; 2p13.1
1C: Caveolin-3; 3p25; Child onset	2C: γ-Sarcoglycan; 13q12
1D: 7q36	2D: α-Sarcoglycan; 17q21
Dilated Cardiomyopathy (?1E): 6q23	2E: β-Sarcoglycan; 4q12
1F: 7q32	2F: δ-Sarcoglycan; 5q33
1G: 4q21	2G: Telethonin; 17q12
1H: 3p23	2H: TRIM32; 9q31-q33
Ankle contractures & High CK	2I: FKRP; 19q13.3
Bethlem: Collagen VI; 21q22 & 2q37	2J: Titin; 2q24
Central core: Ryanodine receptor (19q13)	2K: POMT1; 9q34
Cytoplasmic body: 2q24; 2q21 + Other	2L: ANOS; 11p14
Distal mvopathies	2M: Fukutin; 9q31
MPD2: 5q31; ? Same locus as LGMD1A	2N: POMT2; 14q24
Emery-Dreifuss	MDDGC3: POMGnT1; 1p32
Lamin A/C; 1q21	Early + Ophthalmoplegia: MYH2; 17q21.31
SYNE1; 6q25	Merosin (Laminin α2)
SYNE2; 14q23	Absent: 6q22
Facioscapulohumeral: 4q35	Reduced: 6q22
Myofibrillar (Desmin storage)	Abnormal: LGMD 2I
Desmin: 2q35; AD or AR	Caveolin-3 mutations
αB-crystallin: 11q22	Myosclerosis: COL6A2; 21q22.3
Filamin C: 7q32	Myopathy +
LGMD 1A: Myotilin; 5q31	Cardiomyopathy: DPM3; 1q12
Congenital: SEPN1; 1p36	Lipodystrophy: PTRF; 17q21
ZASP mvopathy: 10q22	Mental Retardation: DAG1; 3p21
BAG3: 10q25	Plectin 1F: 8q24
Other	

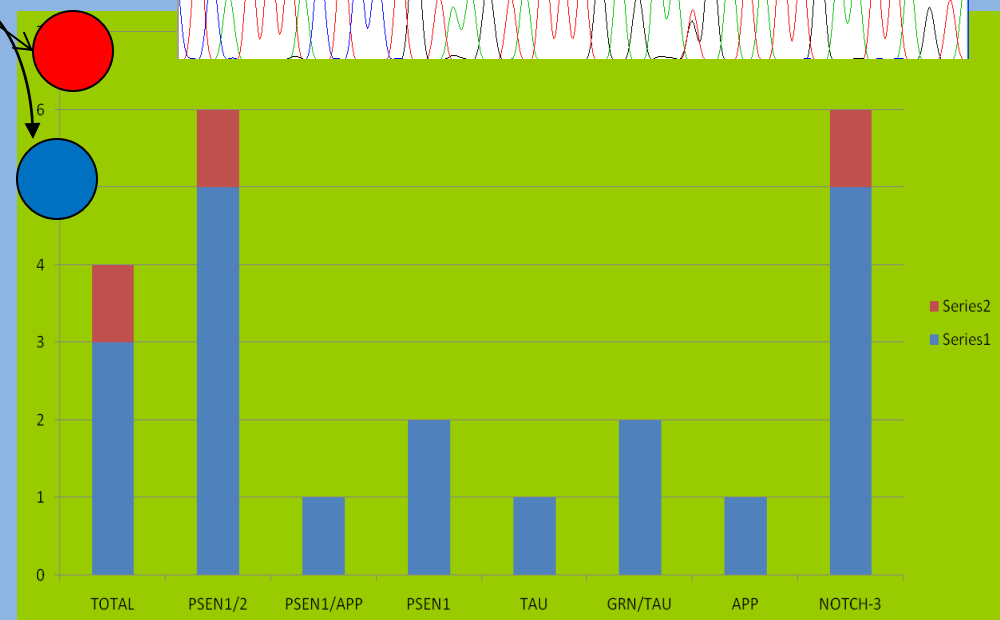
LMN A/C

SECUENCIACION POR SANGER

PSEN1-021 >
protein coding



Aproximacion por gen candidato (guiado por hipótesis)



PLATAFORMAS DE SECUENCIACION



454 LIFE CYCLER



SOLID

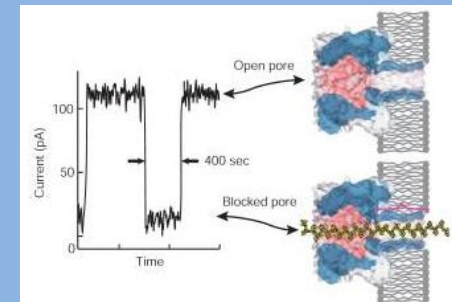


ILLUMINA

ION TORRENT-PGM

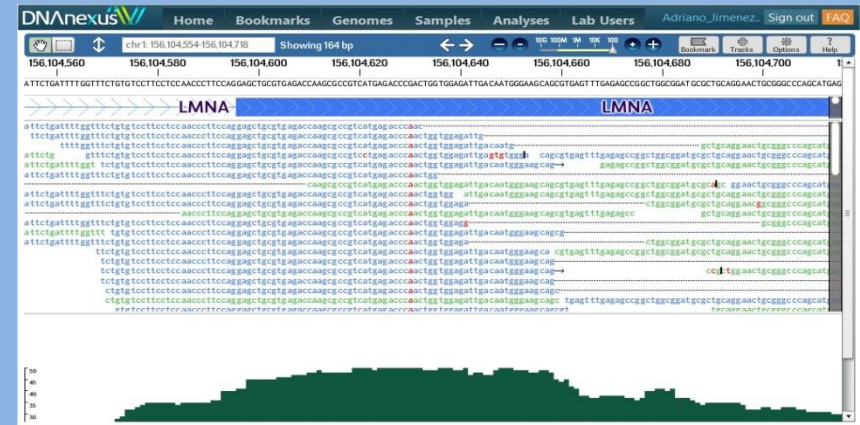


OXFORD NANOPORE





wet lab



BIOINFORMATICA

- Alinear las secuencias
- Extraer las variantes
- Anotar las variantes
- Filtrar los resultados



Variant ID	Gene	Ref Allele	Alt Allele	Gene	Transcript
16114 SNP	LMNA	C	T	LMNA	LMNA
16115 SNP	LMNA	C	C	LMNA	LMNA
16116 SNP	LMNA	C	C	LMNA	LMNA
16117 SNP	LMNA	C	C	LMNA	LMNA
16118 SNP	LMNA	C	C	LMNA	LMNA
16119 SNP	LMNA	C	C	LMNA	LMNA
16120 DEL	LMNA	A	A	LMNA	LMNA
16121 DEL	LMNA	A	A	LMNA	LMNA
16122 DEL	LMNA	A	A	LMNA	LMNA
16123 SNP	LMNA	E	E	LMNA	LMNA
16124 SNP	LMNA	E	E	LMNA	LMNA
16125 SNP	LMNA	E	E	LMNA	LMNA
16126 SNP	LMNA	T	T	LMNA	LMNA
16127 SNP	LMNA	E	E	LMNA	LMNA
16128 SNP	LMNA	E	E	LMNA	LMNA
16129 SNP	LMNA	C	C	LMNA	LMNA
16130 SNP	LMNA	T	T	LMNA	LMNA
16131 SNP	LMNA	E	E	LMNA	LMNA
16132 SNP	LMNA	A	A	LMNA	LMNA
16133 SNP	LMNA	E	E	LMNA	LMNA
16134 SNP	LMNA	E	E	LMNA	LMNA
16135 SNP	LMNA	T	T	LMNA	LMNA
16136 SNP	LMNA	C	C	LMNA	LMNA
16137 SNP	LMNA	C	C	LMNA	LMNA
16138 SNP	LMNA	C	C	LMNA	LMNA
16139 SNP	LMNA	C	C	LMNA	LMNA
16140 SNP	LMNA	C	C	LMNA	LMNA
16141 SNP	LMNA	T	T	LMNA	LMNA
16142 SNP	LMNA	C	C	LMNA	LMNA
16143 SNP	LMNA	E	E	LMNA	LMNA
16144 SNP	LMNA	E	E	LMNA	LMNA
16145 SNP	LMNA	E	E	LMNA	LMNA
16146 SNP	LMNA	E	E	LMNA	LMNA
16147 SNP	LMNA	E	E	LMNA	LMNA
16148 SNP	LMNA	E	E	LMNA	LMNA
16149 SNP	LMNA	A	A	LMNA	LMNA
16150 SNP	LMNA	A	A	LMNA	LMNA
16151 SNP	LMNA	A	A	LMNA	LMNA



1-4 genes

1-100 genes

Genomas pequeños, ej. Mitochondria

Exoma ~ 180.000 exones

Genoma humano



60000



100000



600000

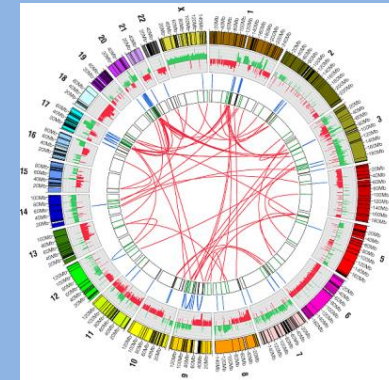
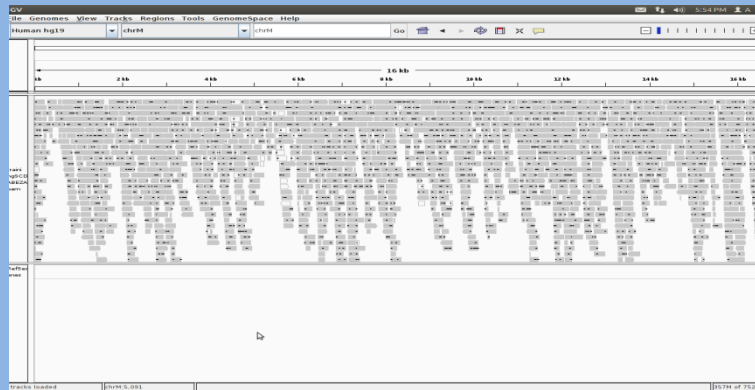
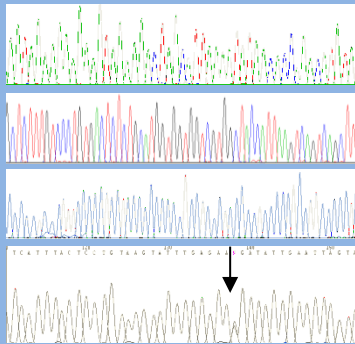
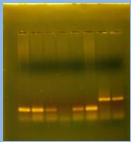
10000
500

10⁶
700

10⁶
300

10⁸
600

10¹⁰
1000



Claro gen candidato
Examen de mutaciones conocidas

Síndrome clínicos: miopatías, ataxias, CMT,..

Enfermedades mitocondriales

Ausencia de hipótesis, Genes grandes Paneles de genes

Grandes reordenamientos Trastornos intrónicos

Next generation sequencing for molecular diagnosis of neurological disorders using ataxias as a model

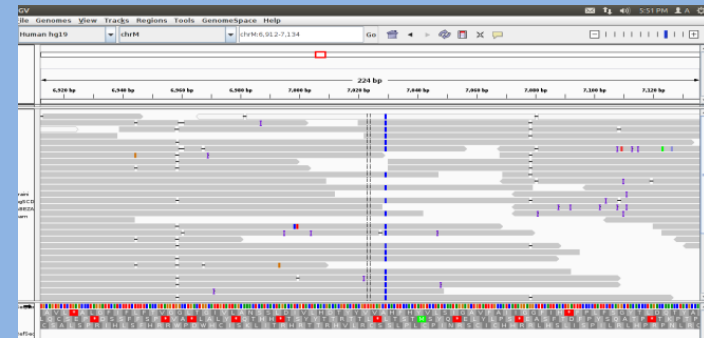
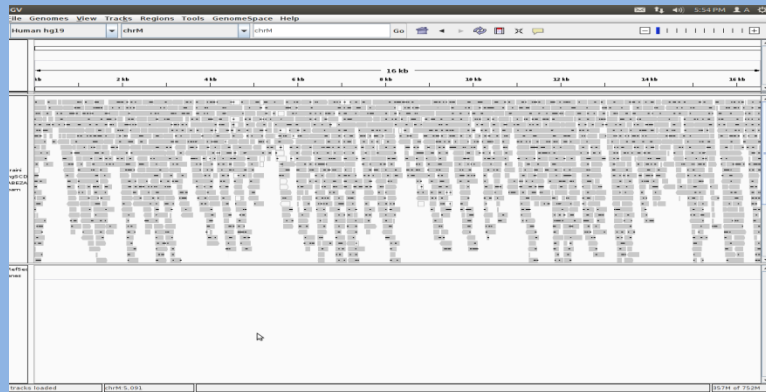
AFG3L2	TTBK2	SYNE1	FLVCR1	WFS1	GBA2
CACNA1A	ANO10	TDP1	FOLR1	ZNF592	KCND3
FGF14	APTX	CYP27A1	GOSR2	POLG	FAM36A
ITPR1	CABC1	HEXA	KCNJ10	GRM1	ABCB7
KCNA1	KIAA0226	HEXB	OPHN1	ATP8A2	ATCAY
KCNC3	MRE11A	AAAS	PIK3R5	DNMT1	DARS2
PDYN	MTPAP	AARS	RELN	WDR81	SLC2A1
PRKCG	SACS	AP1S2	RNF170	SYT14	
SPTBN2	SETX	CASK	SLC9A6	VAMP1	
TGM6	SIL1	VLDLR	SRD5A3	PRRT2	

Referrals are accepted from Clinical Geneticists, Neurologists and Paediatric Neurologists for patients who have had the standard testing for Spinocerebellar ataxias 1-3, 6, 7, 17 and Friedreich ataxia. For late onset cases we also recommend testing for FX-TAS. We aim to report routine diagnostic tests within 80 days and the cost of the Ataxia NGS panel is £1173.00.

Laboratory Contact

Dr Penny Clouston Tel: 01865 225592
 penny.clouston@ouh.nhs.uk

Estudio de genética mitocondrial con NGS



Enfermedades mitocondriales:
-mutaciones puntuales
-deleciones, duplicaciones

Trastornos mitocondriales
S. Fatiga crónica
HiperCKemia
Intolerancia ejercicio

OPEN ACCESS Freely available online

PLOS COMPUTATIONAL BIOLOGY

Next-Generation Sequencing of Human Mitochondrial Reference Genomes Uncovers High Heteroplasmy Frequency

Maria Ximena Sosa^{1,9}, I. K. Ashok Sivakumar^{1,2,9}, Samantha Maragh^{1,3}, Vamsi Veeramachaneni⁴, Ramesh Hariharan⁴, Minothi Parulekar⁴, Karin M. Fredrikson⁵, Timothy T. Harkins^{5,6}, Jeffrey Lin², Andrew B. Feldman², Pramila Tata⁴, Georg B. Ehret¹, Aravinda Chakravarti^{1*}

1 McKusick-Nathans Institute of Genetic Medicine, Johns Hopkins School of Medicine, Baltimore, Maryland, United States of America, **2** Johns Hopkins University Applied Physics Laboratory, Laurel, Maryland, United States of America, **3** National Institute of Standards and Technology, Gaithersburg, Maryland, United States of America, **4** Strand Life Sciences, Bangalore, India, **5** Roche Diagnostics, Indianapolis, Indiana, United States of America, **6** Life Technologies, Beverly, Massachusetts, United States of America

Abstract

We describe methods for rapid sequencing of the entire human mitochondrial genome (mtgenome), which involve long-range PCR for specific amplification of the mtgenome, pyrosequencing, quantitative mapping of sequence reads to identify sequence variants and heteroplasmy, as well as *de novo* sequence assembly. These methods have been used to study 40 publicly available HapMap samples of European (CEU) and African (YRI) ancestry to demonstrate a sequencing error rate $< 5.63 \times 10^{-4}$, nucleotide diversity of 1.6×10^{-3} for CEU and 3.7×10^{-3} for YRI, patterns of sequence variation consistent with earlier studies, but a higher rate of heteroplasmy varying between 10% and 50%. These results demonstrate that next-generation sequencing technologies allow interrogation of the mitochondrial genome in greater depth than previously possible which may be of value in biology and medicine.

Secuenciación de genoma completo: un salto cualitativo en los estudios genéticos

Adriano Jiménez-Escrig, Isabel Gobernado, Antonio Sánchez-Herranz

Resumen. En estos momentos se encuentra en plena expansión la llamada secuenciación paralela o de síncrono –next generation sequencing (NGS)–, que establece un salto de varios órdenes de magnitud en la fragmentación secuenciados y la rapidez de su secuenciación. La NGS permite la secuenciación de un genoma completo en el tiempo y el coste económico de secuenciar dos o tres genes grandes con la técnica de Sanger. A su vez se pasa de examinar genes específicos seleccionados mediante estudio del fenotipo a explorar genomas completos humanos o de otras especies. Esto está permitiendo conocer no sólo cómo es un genoma individual, sino también el genoma humano de persona a persona, cómo difieren los genomas entre diferentes grupos humanos o cómo difiere el genoma de un tumor respecto del genoma sano del hospedador.

Palabras clave. Exoma. Genoma. Next generation sequencing. Secuenciación.

Introducción

La secuenciación del ADN consiste en determinar el orden de las bases A, C, G y T en un fragmento de ADN. La secuenciación utilizada hasta la fecha se realiza por el método descrito por Sanger et al en 1977 [1], que permite obtener la secuencia de un fragmento determinado de ADN, un gen o parte de éste, como, por ejemplo, uno o varios exones (Figura, a). Con esta técnica se obtienen secuencias de hasta 500 bases aproximadamente (Figura, b). Sin embargo, la alta demanda de secuenciación ha llevado al desarrollo de tecnologías de secuenciación masiva basadas en realizar múltiples secuencias con-

4]. Mediante la NGS es posible la secuenciación del genoma humano completo de un individuo en un tiempo y coste económico que la secuenciación de dos o tres genes grandes con la técnica de Sanger.

La secuenciación del ADN ha permitido un avance radical en la manera de entender la enfermedad genética, pasando de estudiar la enfermedad en patrones de transmisión o familiares a conocer cuáles son las causas de la enfermedad. Sin embargo, sus limitaciones han centrado los estudios genéticos en procesos con un fenotipo definido y enfermedad mendeliana producida por mutaciones o a la búsqueda de genes causales

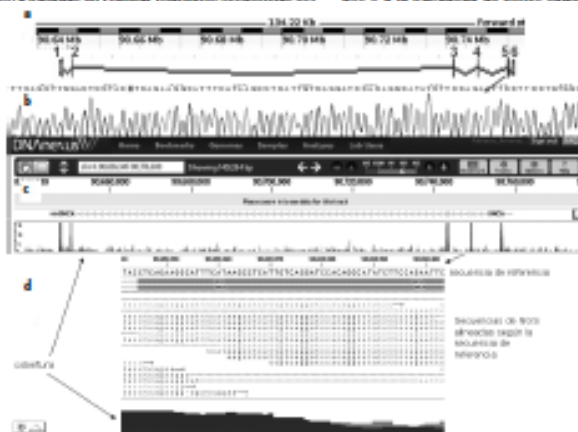


Tabla I. Indicaciones de estudios de exoma.

Indicaciones

Enfermedades hereditarias con amplia lista de genes candidatos (>3)

Enfermedad de Charcot-Marie-Tooth (CMT)

Miopatías

Enfermedad de Parkinson familiar, distonías y otros movimientos anormales

Epilepsia

Leucodistrofias: CADASIL y otros

Esclerosis lateral amiotrófica

Demencias hereditarias

Otras indicaciones

Enfermedades progresivas de causa no aclarada

Procesos largos y costosos

Esclerosis múltiple

Polineuropatía crónica inflamatoria desmielinizante

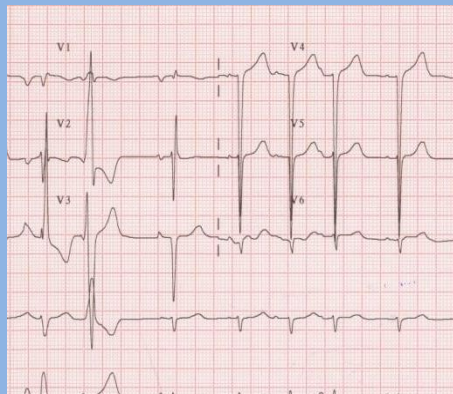
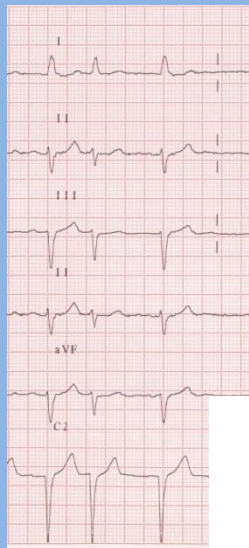
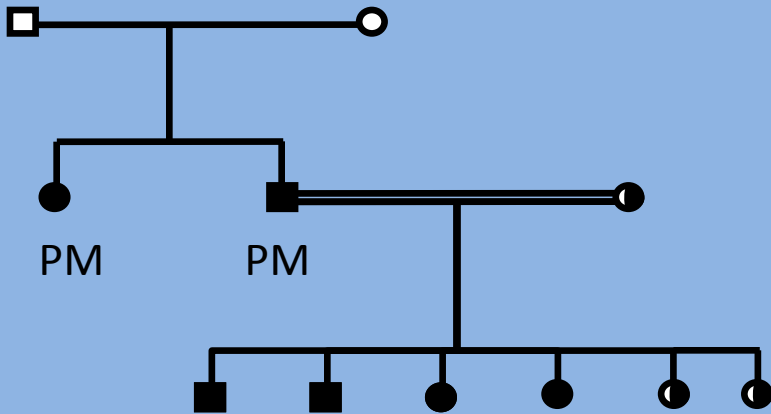
No indicado

Si existe un fuerte gen candidato (enfermedad de Huntington, CMT tipo 1)

Enfermedades producidas por expansiones (por ejemplo, heredoataxias)

Enfermedades producidas por reordenamientos del genoma (por ejemplo, distrofia facioescapulohumeral)

¿Variaciones en el número de copias?



CASE OF THE MONTH

AUTOSOMAL RECESSIVE EMERY-DREIFUSS MUSCULAR DYSTROPHY CAUSED BY A NOVEL MUTATION (R225Q) IN THE LAMIN A/C GENE IDENTIFIED BY EXOME SEQUENCING

ADRIANO JIMENEZ-ESCRIG, MD, PhD,^{1,2} ISABEL GOBERNADO, MD,^{2,3} MERCEDES GARCIA-VILLANUEVA, MD, PhD,⁴ and ANTONIO SANCHEZ-HERRANZ, BS, PhD^{2,5}

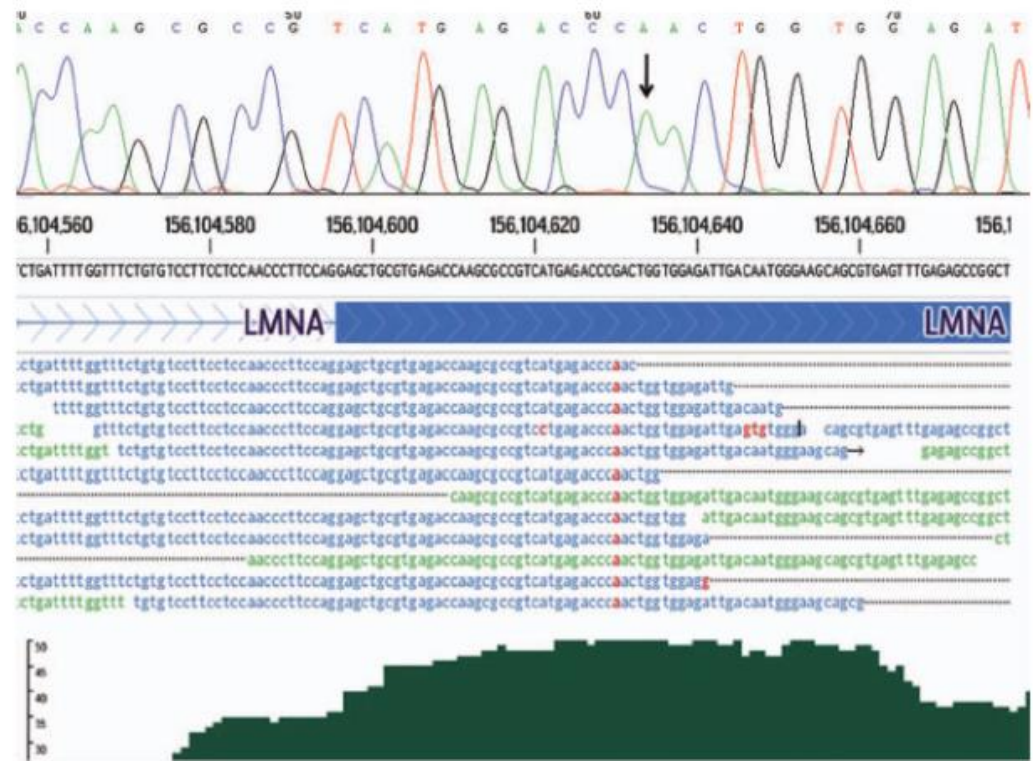


FIGURE 3. Next-generation sequencing multiple alignments at *LMNA* gene exon 4, showing the G→A mutation; and Sanger sequencing at this locus (top). [Color figure can be viewed in the online issue, which is available at wileyonlinelibrary.com.]

ACTIVO CONSULTA REMITIDA PARA ESTUDIO METABOLICO POR RETRASO PSICOMOTOR SEVERO.
ENFERMEDAD ACT. HEMBRA DE 3 A. NACIDA EN LA PAZ DE EMBARAZO A TERMINO CON PARTO NORMAL DE 4 L. DE DURACION TOTAL CON EXPULSION DE 30 MIN. PRESENTA CIROPACIA Y REGAR NORMAL. RECLSA JOTA 22 HORAS. DESDE LOS PRIMEROS DIA DE VIDA SUCCION Y LLANTO DEBTL. MANTUVO CAPEZA A LOS 42 MESES DE VIDA SIN SENTIR SIN APRIJA A LOS 24-26 MESES. DIAGNOSTICADA DE RETRASO PSICOMOTOR DESDE EL 1800MO MES CON TAC-REG NORMALES. DESDE ENTONCES REHABILITACION. NUNCA EPISODIOS CONVULSIVOS. CRISTOTONOS FRECUENTES EN LOS PRIMEROS MESES DE VIDA.

ANTEC. PERSON. APARTE DE LOS YA REFERIDOS. VACUNA TRIPLE VIRICA A LOS 13 MESES ANTICUERPOS ANTIRUBELLA (POSITIVO) DESPUES DE LA VACUNA. BIOPSIA HEPATICA Y DE PIEL NORMALES (INI 3 JESUS). EMBARAZO RX CIENTES EN EL 3 MES. DUDA DE CONTACTO CON RUBELLA EN LAS PRIMERAS SEMANAS. MEDICIA CLINICA PAULATINA CON ESTIMULACION SIN PERDIDA DE HITOS ADQUIRIDOS.

ANTEC. FAMIL. PADRES VIVEN SANOS. SIN ANTECEDENTES FAMILIARES. HIJA UNICA.

EXPL. CLINICA PESO 10,3 KG. (P.3-10) TALLA 87 CM. (P.3-10) PC 47,3 CM. (P.3-10) BUEN ESTADO GENERAL. PIEL Y MUCOSAS NORMALES. FIJA LA MIRADA DE VIZ EN CUANDO (SI LE INTERESA), SUARIE A VECES (NO SIEMPRE CUE EL EXPLORADOR QUIERE). MANTIENE CAPEZA Y SE MANTIENE SENTADA EN JOCASTINOS SE DESOCCOCTA TOTALMENTE EMITINDO RESCPIIDOS SIN CONVULSIONES. CRANEO NORMAL. NO SOPLOS. TORAX Y ABDOMEN NORMALES. PARES CRANIALES NORMALES. MACULA NORMAL. FONDO DE OJO EN SAL Y PINEBITA CON PAPILAS LIGERAMENTE PALIDAS Y TRANSPARENCIA PETITIANA QUE PERMITE VISUALIZAR RED CROIDEA. NO SE PARECIA MANCHA ROJO - CAPEZA. ROT SIMETRICOS Y VIVOS. TONO MUSCULAR NORMAL. PLANTAR EI EXTENSION. NO IMPORR. NO SE MANTIENE DE PIE.

ANALITICA SANGRE ESTUDIOS VIRUS RUBELLA 1/64. CITOMEGALOVIRUS 1/18. HERPES 1/32. VARICELL 1/18. EN LCR TODI NEGATIVO. RESUMEN INFECCION SANGRE A RUBELLA (VACUNACION). CULTER 1.200 LEUCOCITOS CON FORMULA NORMAL. HB 12,4 G/L CON N°HE, VCM, HCM NORMALES. HITACHI NORMALES. PH Y GASES NORMALES. IHA ANTES Y DESPUES DE APORTE DE 7 GR. PROTEINAS NORMALES.

RADIOLOGIA TAC RIGUROSAMENTE NORMAL.

EXPL. COMPL. CARIOTIPO 46XX FEMENINO NORMAL. BRG EN VENTILIA Y SUERO SIN PATOLOGIA. LCR ANTICUERPOS EN SANGRE - URINA Y ~~MESE~~ NORMALES. POTENCIALES EVOCADOS AUDITIVOS NORMALES. BIOPSIA RETINAL NO SE CONSIGUE HACER TOMA LO SUFICIENTEMENTE PROFUNDA PARA DETENER NEURONAS. TRAS HABLAR CON LOS PADRES Y TENIENDO BIOPSIA DE PIEL NORMAL. SE DECIDE NO REPETIR. ESTUDIO EN BARCELONA. SE REALIZO MUESTRAS DE SUERO Y URINA PARA

PAG. 2
DESCARTAR DEFICIT DE SULFATASAS - HEXOSAMINIDASAS. AUNQUE CLINICAMENTE DESCARTAMOS LA POSIBILIDAD DE NIEMUN PICK (ESFINGOMELININASA), KRAEBI (BETAGALACTOGLUCOSIDASA), GANGLIOSIDOSIS (HEXOSAMINIDASAS) Y LEUCODISTROFIA METACROMATICA (ACILINLFATASAS). NO SE REMITE A ETIOLÓGICOS PUES EL RESULTADO DE OTRA ANALITICA ASI COMO LA EVOLUCION DE LA NIJA PARECE DESCARTAR ENFERMEDAD DE ORIGEN METABOLICO.

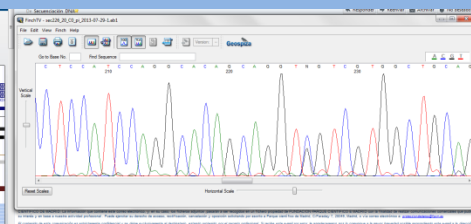
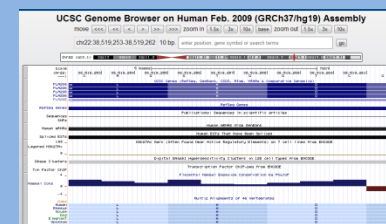
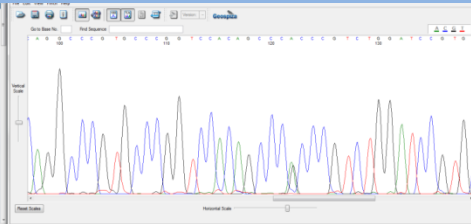
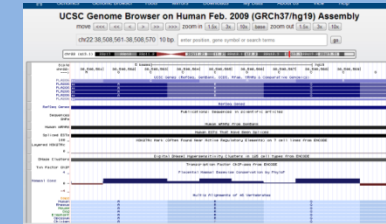
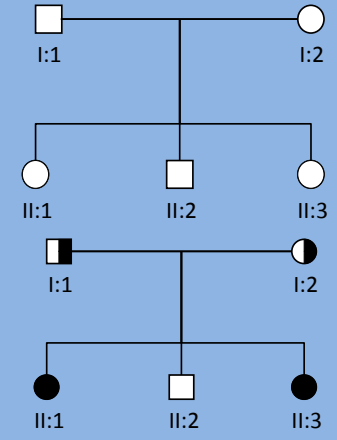
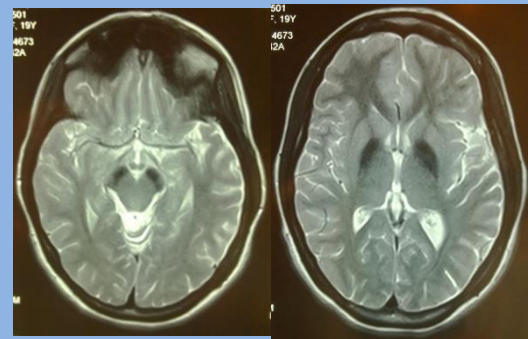
DIAGNOSTICO POR RETRASO DE ADQUISICION DE HITOS DE DESARROLLO. MEDICINA CON ESTIMULACION. NO PERDIDA DE HITOS ADQUIRIDOS. AUSENCIA DE APROXACION EN EL TAC. CE SPTENCIA BLANCA YFC GUIS. AUSENCIA DE LESION OFTALMOLOGICA. AUSENCIA DE DEPOSITOS EN PIEL E HIGADROBIOPSIA DE CTRC CENTRO HOSPITALARIO). AUSENCIA DE TRANSORNOS EN METABOLISMO AMINACIDOS. AUSENCIA DE APROXACION EN PRIT. LCR. POTENCIALES EVOCADOS. CRECIMOS RUJOS TRATADOS DE ENCEFALOPATIA MODERADA - SEVERA DE PATALE ETIOLOGIA (HIPOXIA YFC INFECCIOSA). PENDIENTES DE SULFATASAS Y DE HEXOSAMINIDASAS.

TRATAMIENTO REHABILITACION Y ESTIMULACION.

RECOMENDACIONES CONSEJO GENETICO. NO TENEMOS DATOS PARA INDICAR LA LIMITACION DE FUTURIS EMBARAZOS, SALVO LA EDAD ACTUAL DE MADRE, 30 A.

Tabla I. Indicaciones de estudios de exoma.

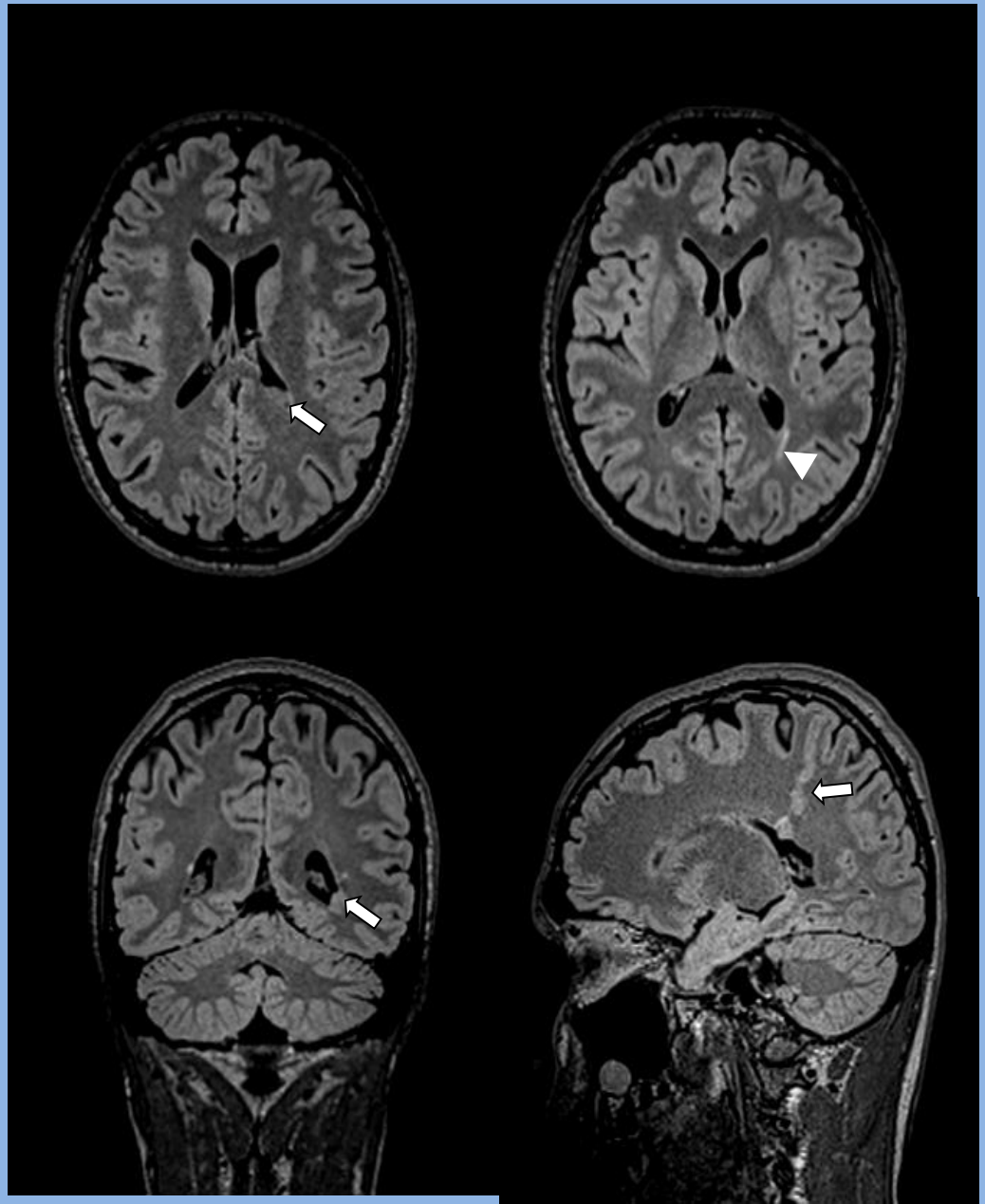
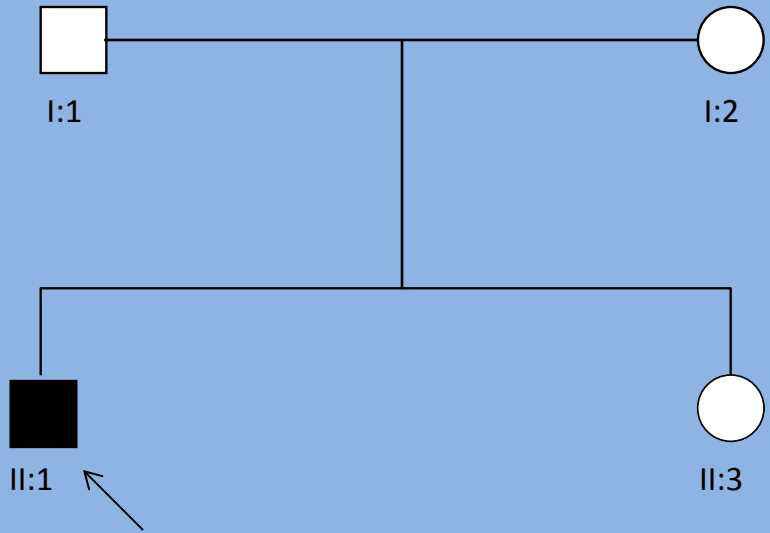
Enfermedades progresivas de causa no aclarada



exonic PLA2G6 nonsynonymous SNV PLA2G6:NM_003560:exon16:c.C2221T:p.R741W 0.01 0.968233

exonic PLA2G6 synonymous SNV PLA2G6:NM_003560:exon11:c.C1494T:p.I498I

exonic PLA2G6 nonsynonymous SNV PLA2G6:NM_003560:exon11:c.C1435G:p.H479D 0.01 0.964521



What can exome sequencing do for you?

Jacek Majewski,^{1,2} Jeremy Schwartzentuber,¹ Emilie Lalonde,^{1,2}
Alexandre Montpetit,¹ Nada Jabado^{2,3}

ABSTRACT

Recent advances in next-generation sequencing technologies have brought a paradigm shift in how medical researchers investigate both rare and common human disorders. The ability cost-effectively to generate genome-wide sequencing data with deep coverage in a short time frame is replacing approaches that focus on specific regions for gene discovery and clinical testing.

an estimated cost of \$2.7 billion.⁶⁻⁸ In 2008, by comparison, a human genome was sequenced over a 5-month period for approximately \$1.5 million⁹ and now, in 2011, sequencing a whole genome is done over a period of a few days and is soon projected to cost less than \$1000. The latter accomplishment was made possible by the commercial launch of the first massively parallel synome-

exome, non-coding RNAs, highly conserved regions of the genome, disease-associated ID blocks or other regions of interest. Because the exome represents only approximately 1% of the genome or about 30 Mb, vastly higher sequence coverage can be readily achieved using second-generation sequencing platforms with considerably less raw sequence and cost than WGS. For example, whereas 90 Gb of sequence is required to obtain 30-fold average coverage of the genome, 75-fold average coverage is achieved for the exome with only 3 Gb of sequence using the current state-of-the-art platforms for targeting.^{17, 18} However, there are inefficiencies in the targeting process. For example, uneven capture efficiency across exons can result in exons with low sequence coverage, and off-target hybridisation means that at least 20% of reads come from genomic DNA outside the exome. In addition, exome capture is not complete. Indeed, the

simply reflect the wish to know what genetic information they are born with. Until 2008 such questions usually remained unanswered because, even for some Mendelian disorders, we did not know how to identify causative mutations within our genome. Indeed, our individual genomes contain variants which may protect us against or increase our susceptibility to our environment and the multiple stressors we encounter during our lifespan. Knowing these variants can perhaps allow us to better prepare or to avoid the negative impacts they might have on our health, lifespan and offspring. In the short years since the first commercial platform became available, NGS has dramatically accelerated multiple areas of genomics research, enabling experiments that previously were not technically feasible or affordable. In this paper we describe the major ongoing applications of NGS as they pertain to WES.

➤ Herramienta diagnóstica que es:

- no invasiva
- económica
- tiempo de realización corto

→ 1er nivel de screening de pacientes con miopatías

➤ Aplicabilidad en casos “no genéticos”

➤ Medicina personalizada

- Un escalón más en el diagnóstico
- Interacción de genes/hallazgos incidentales/farmacogenómica

→ Programas de pacientes sin diagnóstico

ent in 1988¹ and revolutionised our approach to the study of DNA, and that in turn revolutionised the molecular analysis of mammalian genes. In 1977 two landmark articles describing methods for DNA sequencing were published.^{4, 5} The approach reported by Sanger and colleagues was further refined and commercialised leading to its dissemination throughout the research community and, ultimately, into clinical diagnostics. In an industrial high-throughput configuration, Sanger technology was then used in the sequencing of the first human genome which was completed in 2001 through the Human Genome Project, a 13-year effort with

gigabases of nucleotide sequence from a single instrument run, depending on the platform. Targeted sequencing approaches have the general advantage of increased sequence coverage of regions of interest—such as coding exons of genes—at lower cost and higher throughput compared with random shotgun sequencing methods.⁹⁻¹² Most large-scale methods for targeted sequencing use a variation of a hybrid selection approach. Complementary nucleic acid “baits” are used to “fish” for regions of interest in the total pool of nucleic acids, which can be DNA¹³⁻¹⁵ or RNA.¹⁶ Any subset of the genome can be targeted, including

Table 1 Comparison of commercially available technologies for human whole exome capture (numbers taken from their respective data sheets)

Probe size	Agilent 120 bases	RocheGen 55–105 bases	Illumina 95 bases
Target region size	50 Mb	44.1 Mb	62 Mb
Probe type	RNA	DNA	DNA
No. of probes	561824	2.1M	340427
No. of targeted exons	188280	~300 000	201121
Reads on target (%)	>85	>85	>85
On target: ≥200 bases (%)	77	83	80
Reads with >0.2× mean read coverage (%)	>85	>85	>85

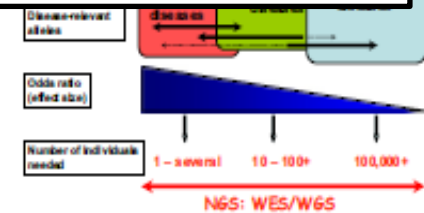


Figure 1 Roadmap for the application of next generation sequencing technologies for the identification of disease-relevant genomic variations.

Muchas gracias